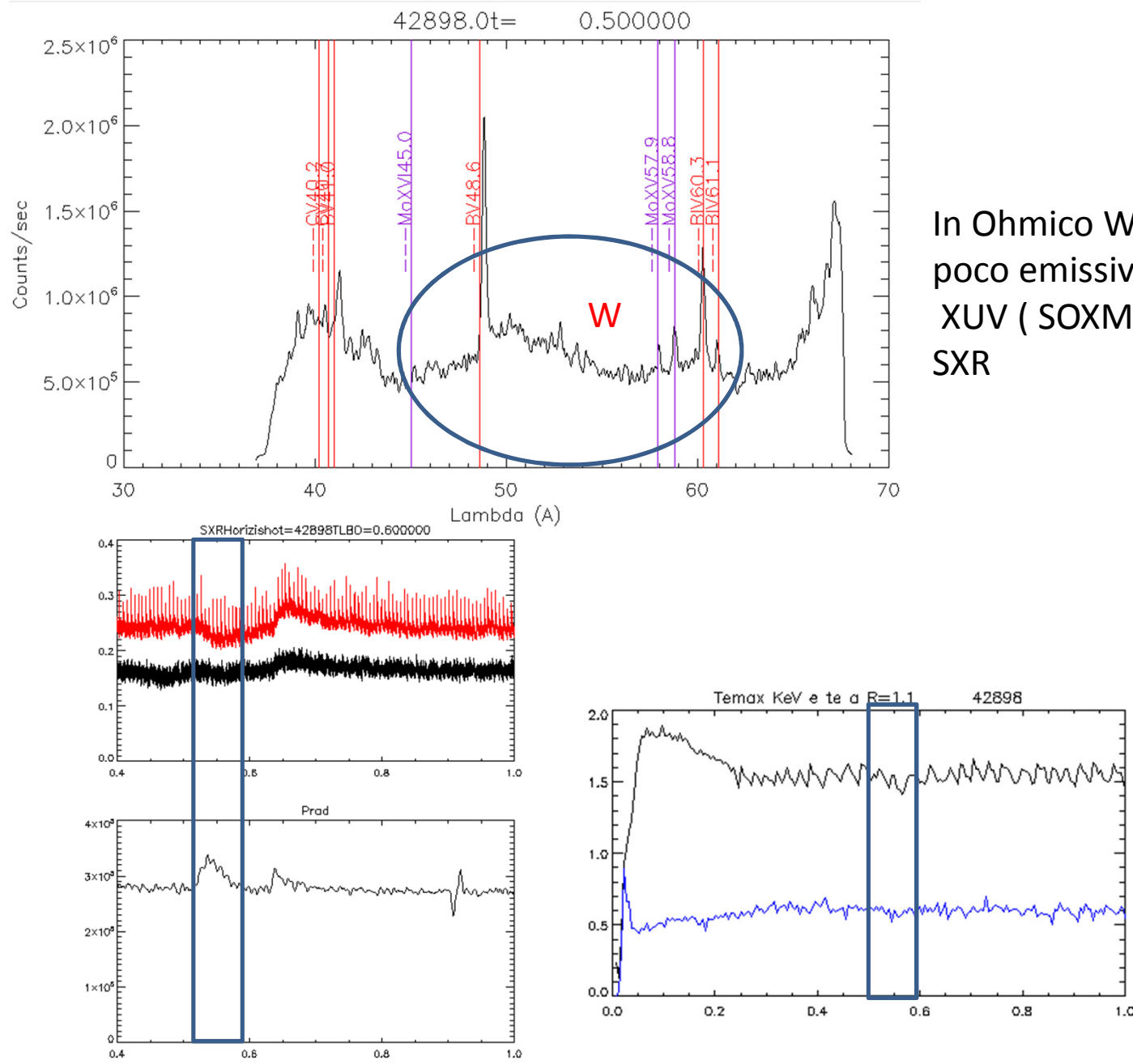


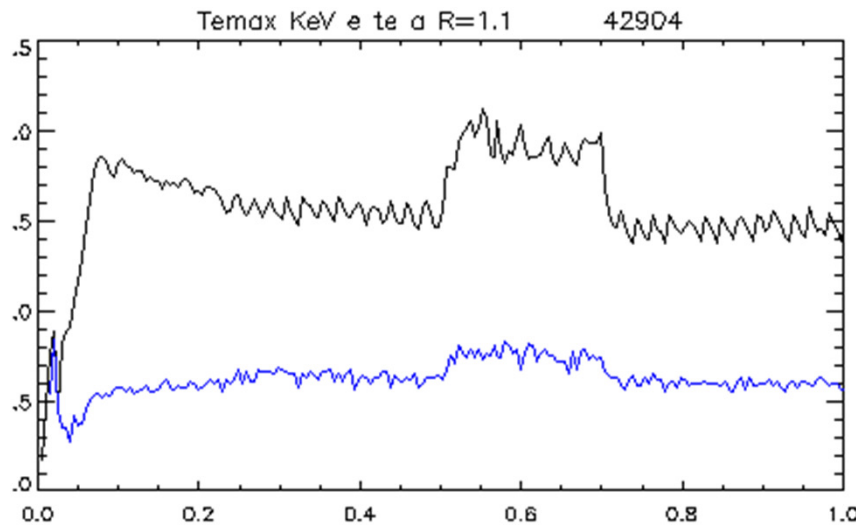
F-11 W LBO Injection : 23 maggio 2019

500 kA, 5.3 T, $0.6 \cdot 10^{20} \text{ m}^{-3}$. Durata della scarica 1 s,
LBO a 0.5 o 0.6 s **ECRH per 200ms**

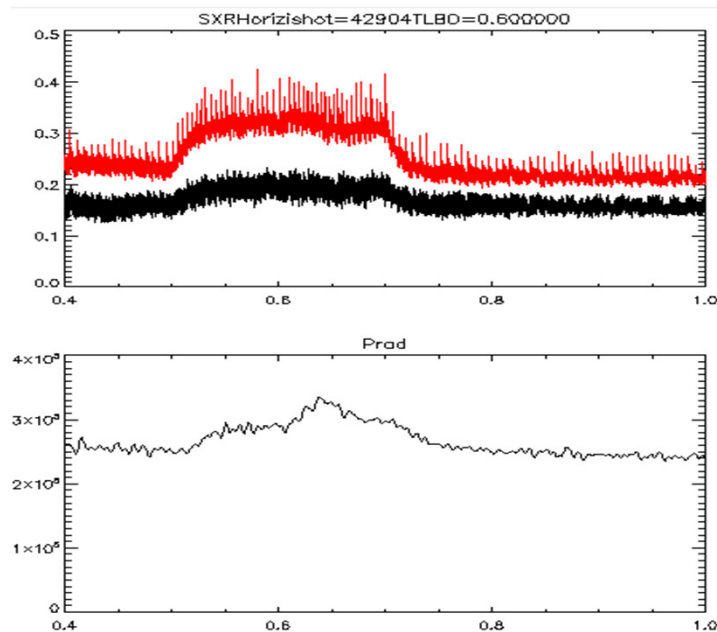
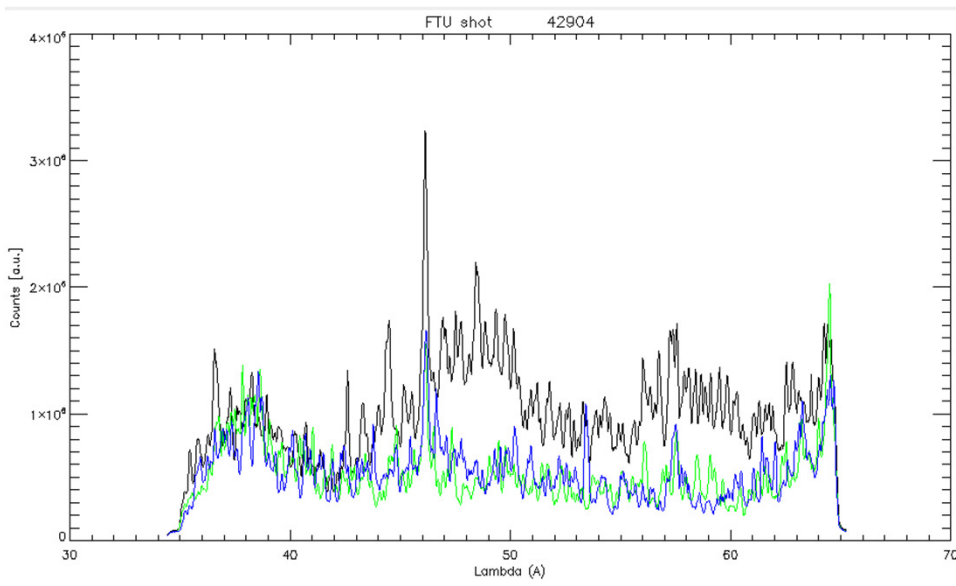
- 8 spari con W (2 in Ohmico, 6 con ECRH 1-2 tubi)
- Dati emissione W misurati con SOXMOS col reticolo 600 g/mm e 1200 g/mm
- Emissione rivelata sulla banda 'continuo' 40.-70. A, ancora non evidenti emissioni banda 'continuo' a lambda + basse (20-20 A) .



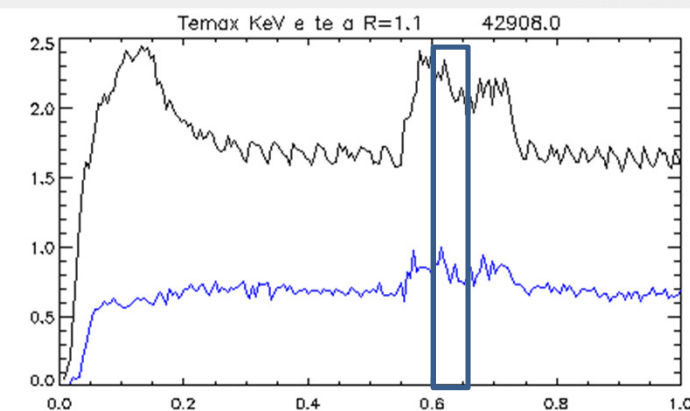
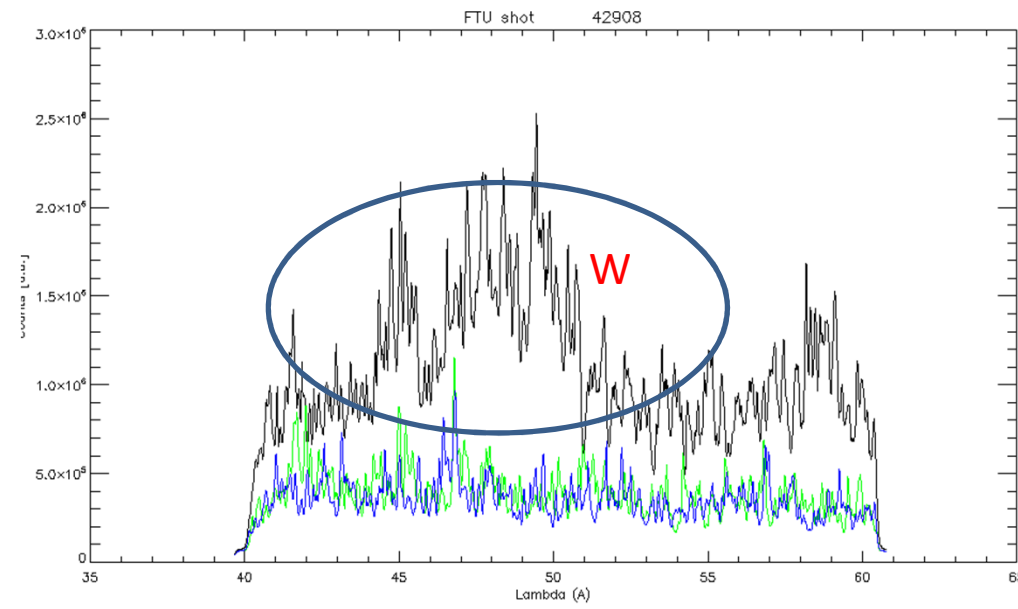
In Ohmico W visibile su Prad ma poco emissivo per XUV (SOXMOS), VUV (SPRED), SXR



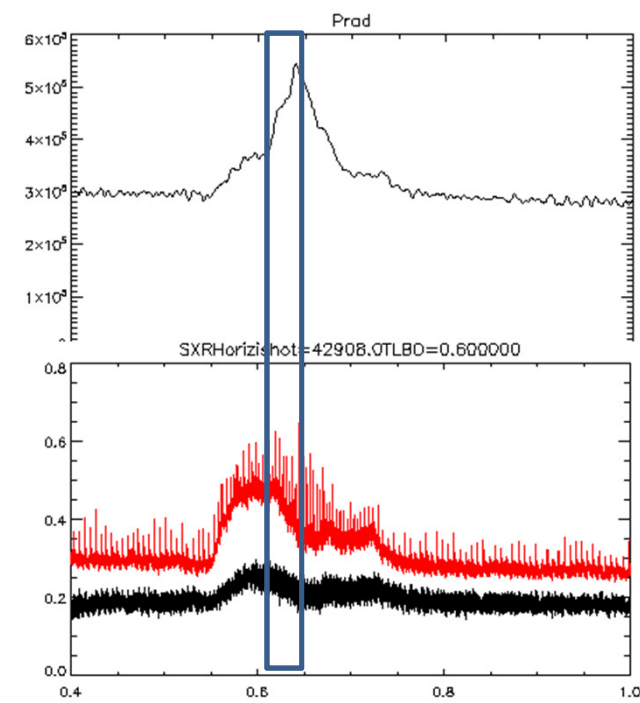
Anche a Te più elevata con ECRH
 L' emissione è risultata scarsa
 => aumentato il diaframma del LBO



L'aumento di W per emissioni di riga rilevabili perturba Te .
 SXR sono dominati dalla decrescita di Te, anche alle temperature più elevate
 raggiunte con ECRH



Prad aumenta . Te e SXR
 decrescono in corrispondenza al
 LBO



L'analisi dei profili di brillanza SXR e Prad consentirà di localizzare l'emissione del W, correlandola alla diminuzione di Te (che non si registra nelle immissioni di specie più leggere come Ni e Y)

Richiesta di altri esperimenti con ECRH ottimizzata , per avere Te più elevate, per il completamento dei dati:

- Analisi variazioni della feature spettrale 40-60 A alle Te più elevate (ripetizione di #42909 con diaframma maggiore e ECRH ottimizzata, reticolo 1200 g/mm)
- Feature 20-40 A (ripetizione di# 42907 e misure più risolte con 1200g/mm se l'emissione è sufficiente)

| | | | | | | | | | |
|----|--------|------------------|------|------|---|-----------------------|------------|---|--|
| 5 | #42897 | 215 (76-116A) | 600 | 1400 | 6 | 0.5s, Yt(5), f=1.8 | 0.0-Ret1 | ok | 86.2, 87.3, 92.1, 94.8, 98.4 |
| 6 | #42898 | 155 (36-65A) | 600 | 1350 | 6 | 0.5s, W(3), f=0.5 | 0.0-Ret2 | ok | Si vede ma poco, no perturbazione su Te |
| 7 | #42899 | 155 (36-65A) | 600 | 1350 | 6 | 0.5s, W(3), f=0.6 | 0.0-Ret2 | Ok, arriva lbo, si vede drop su Te, prte mhd.troppo in ohmico, forse ok con ECRH | Scarica si fredda dopo l ingresso di W |
| 8 | #42904 | 155 (36-65A) | 600 | 1350 | 6 | 0.6s, W(3), f=0.6 | 0.0-Ret2 | ECRH@0.5s per 200 ms 81 TUBO), stazionaria dopo 100 ms, Te 1.9keV | Riga a 47.1, 48.2, 49.7, Si vede poco, no effetti su Te, ne di partenza 0.6e20, non si deve tanto nemmeno con SPRED. Si decide di aumentare f, ECRH stabile dopo 100ms |
| 7 | #42905 | 155 (36-65A) | 600 | 1350 | 6 | 0.6s, W(3), f=0.8 | 0.0-Ret2 | ECRH@0.5s per 200ms (1tubo), Te 2.0keV | Effetto su Te dopo ingresso W, ECRH stabile dopo 80ms |
| 8 | #42906 | 155 (36-65A) | 600 | 1350 | 6 | 0.6s, W(3), f=0.9 | 0.0-Ret2 | ECRH@0.5s per 115ms tubo1, 0.55s per 65ms tubo2 | Si vede bene, ma scaica abbastanza perturbata |
| 9 | #42907 | 120 (18-42A) | 600 | 1350 | 6 | 0.6s, W(3), f=0.9 | 0.0-Ret2 | ECRH@0.55s per 200ms tubo1, 0.55s per 100ms tubo2, Te 2.2 keV | Si vede, ma parte mhd |
| 10 | #42908 | 220 (40-60A) | 1200 | 1350 | 6 | 0.6s, W(3), f=0.9 | 0.0-Ret2 | ECRH@0.55s per 172ms tubo1, 0.55s per 130ms tubo2, Te 2.3 keV | Si vede, poca mhd |
| 11 | #42909 | 225 (44-64A) | 1200 | 1350 | 6 | 0.6s, W(3), f=0.9 | -14.5-Ret2 | ECRH@0.55s per 195ms tubo1, 0.55s per 155ms tubo2, Te 2.3 keV | Si vede, ma parte mhd, si vede aumento ne, tante righe da identificare!!!!!! |